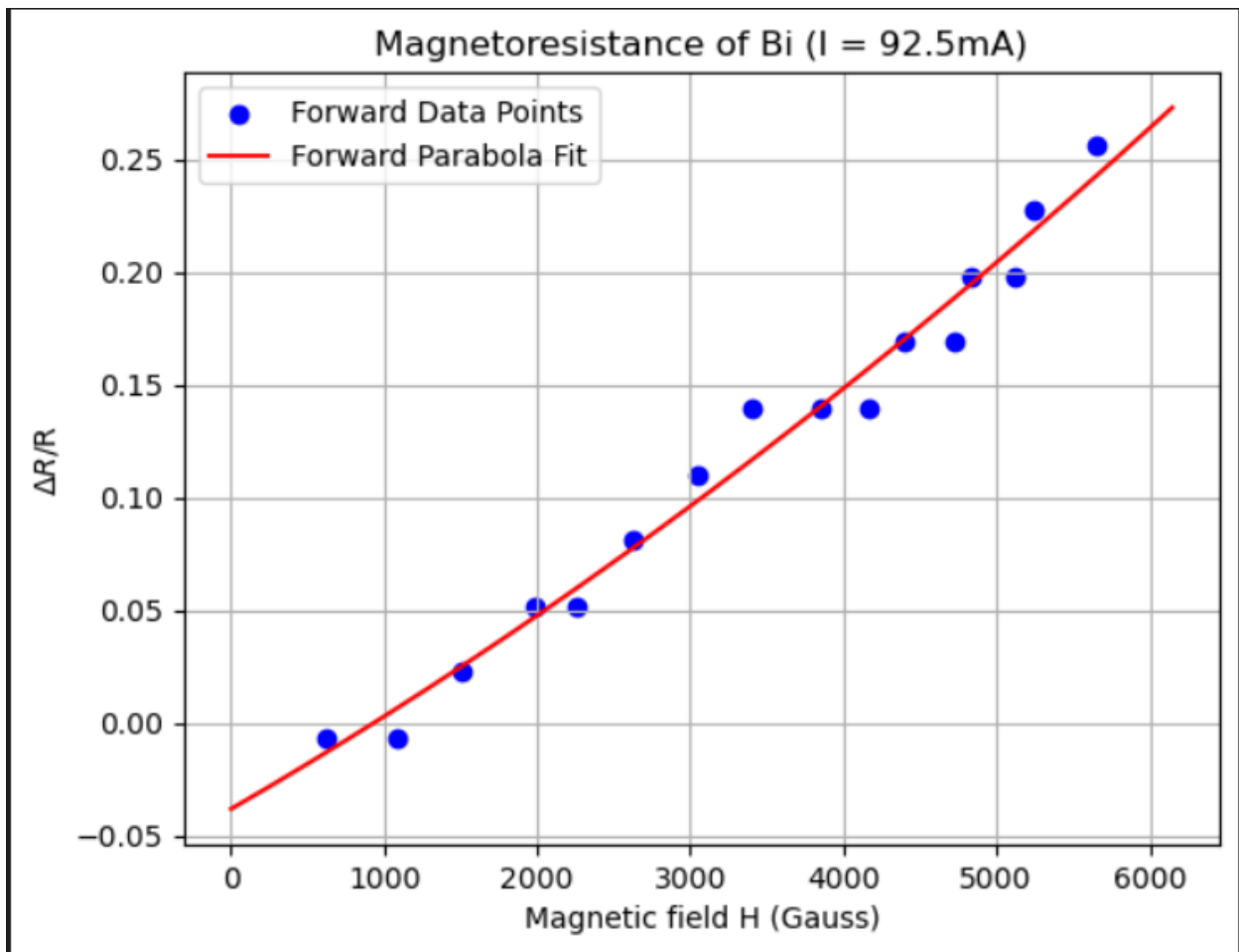
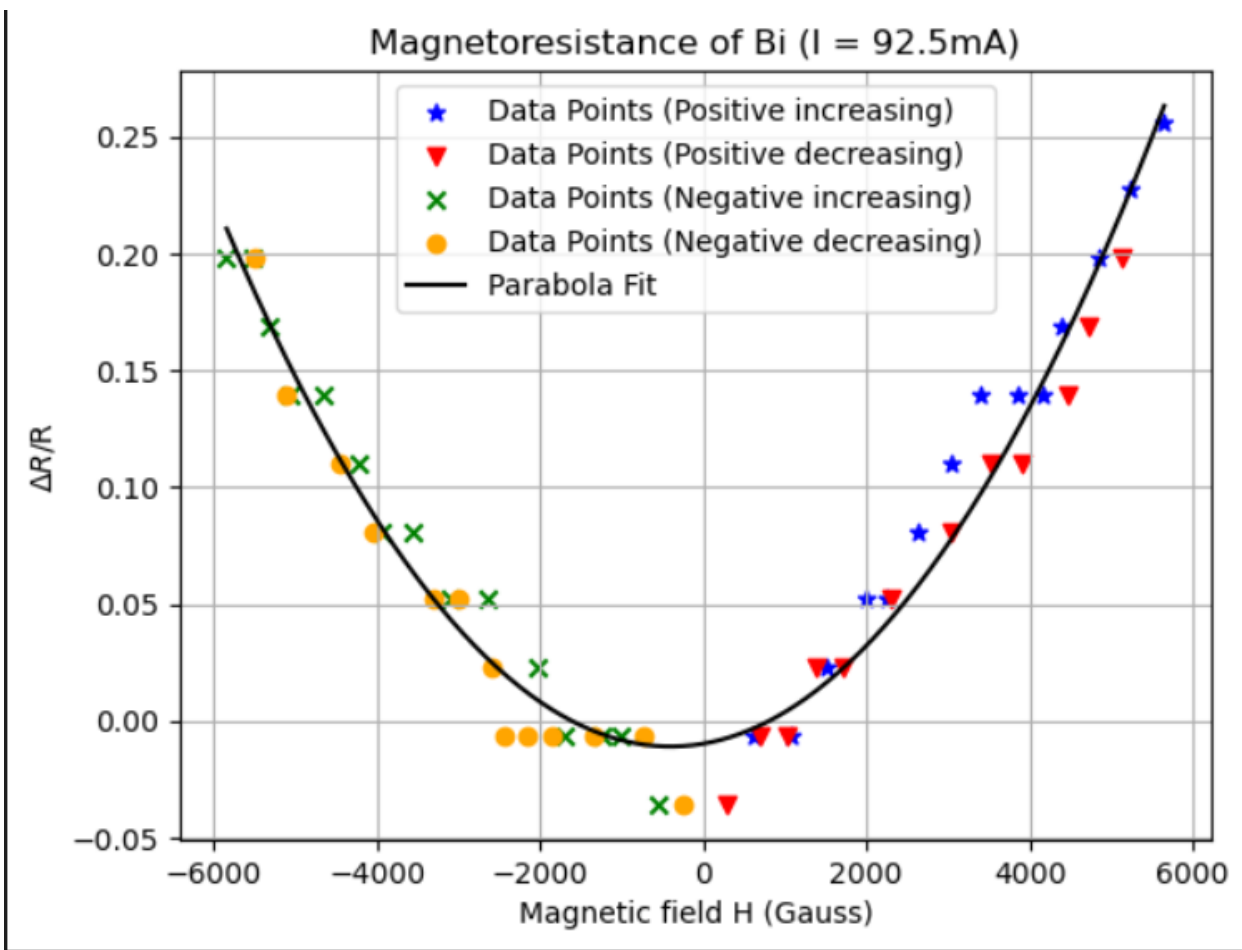
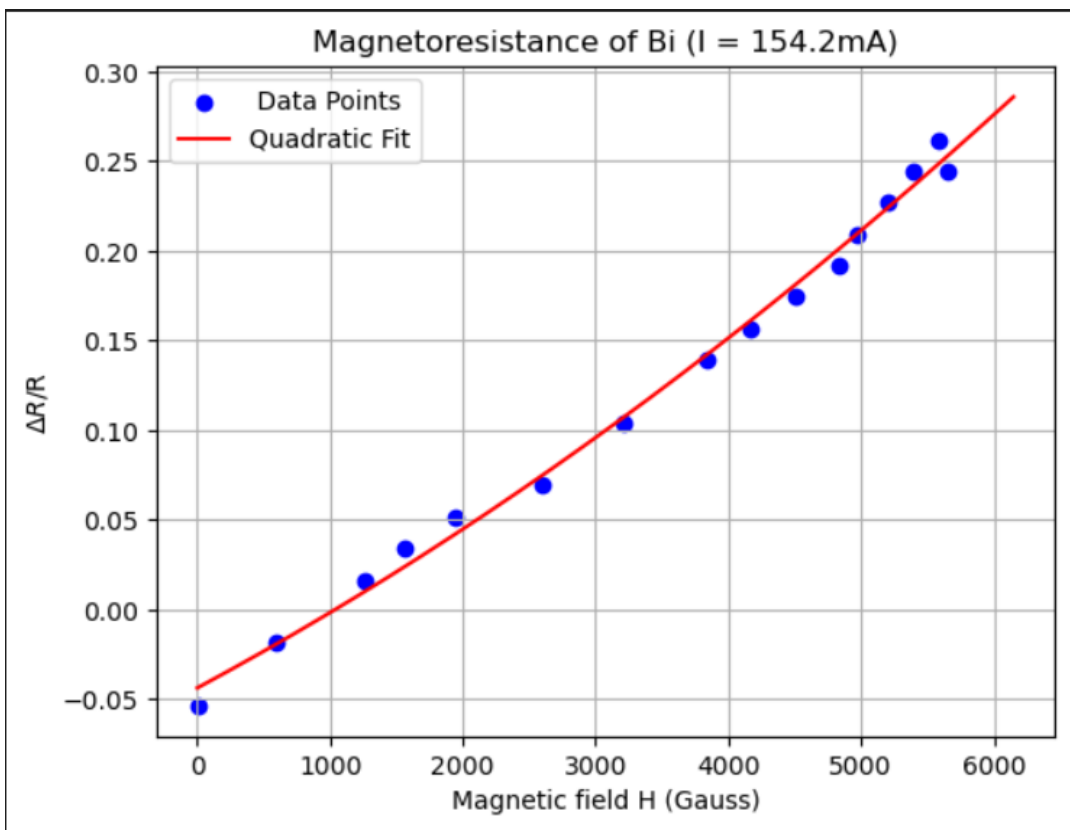
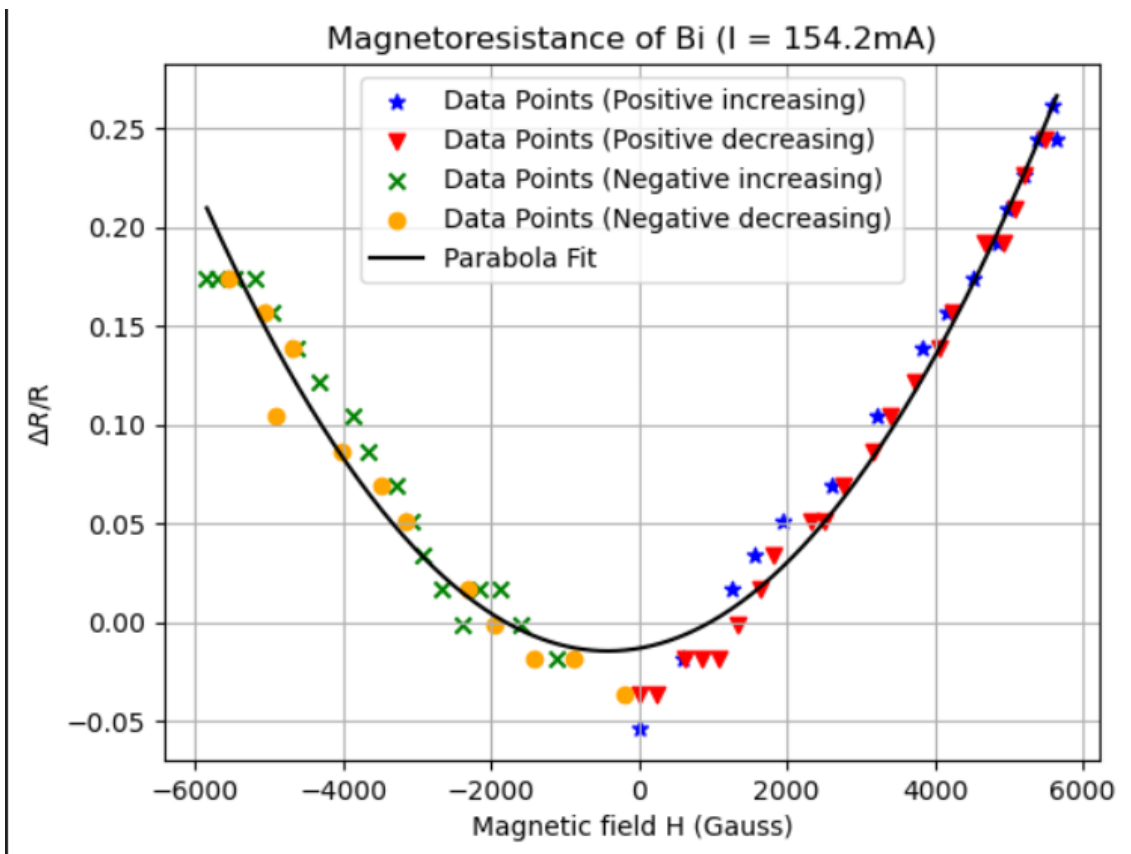
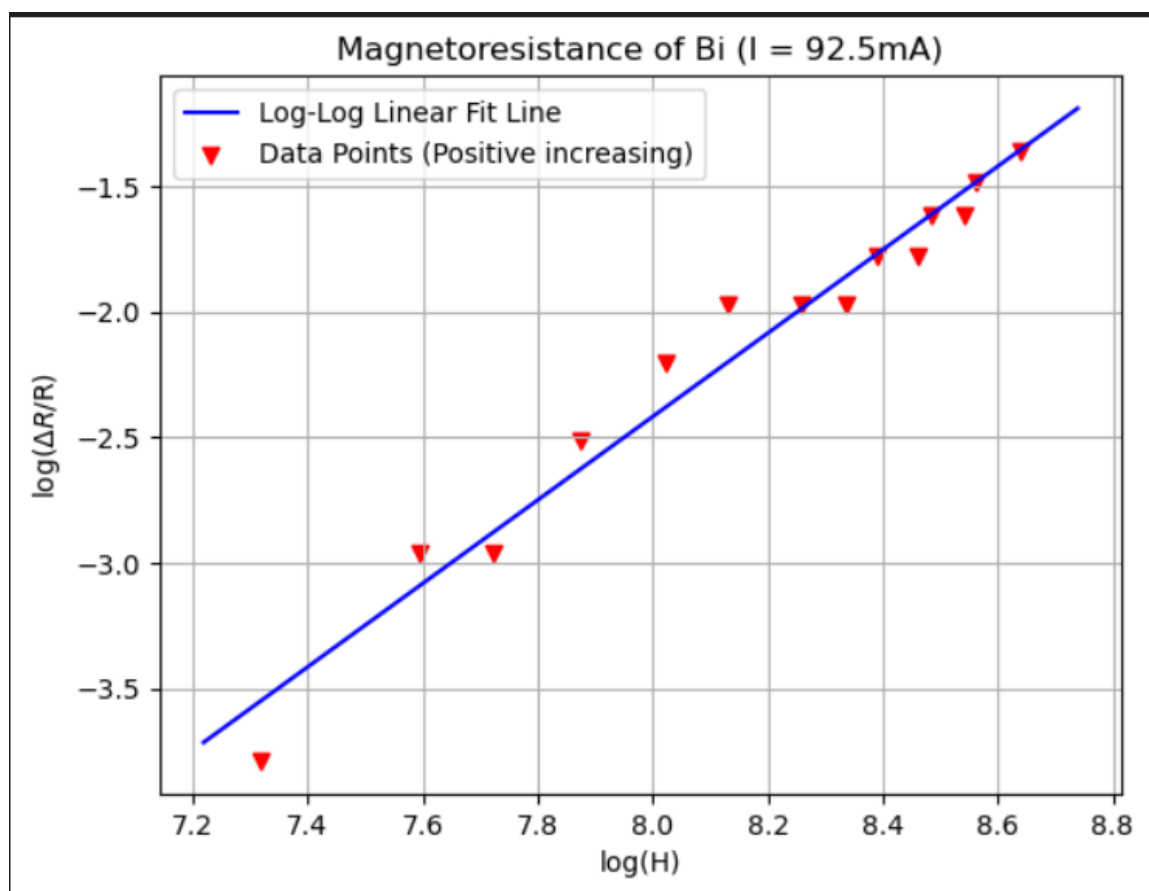
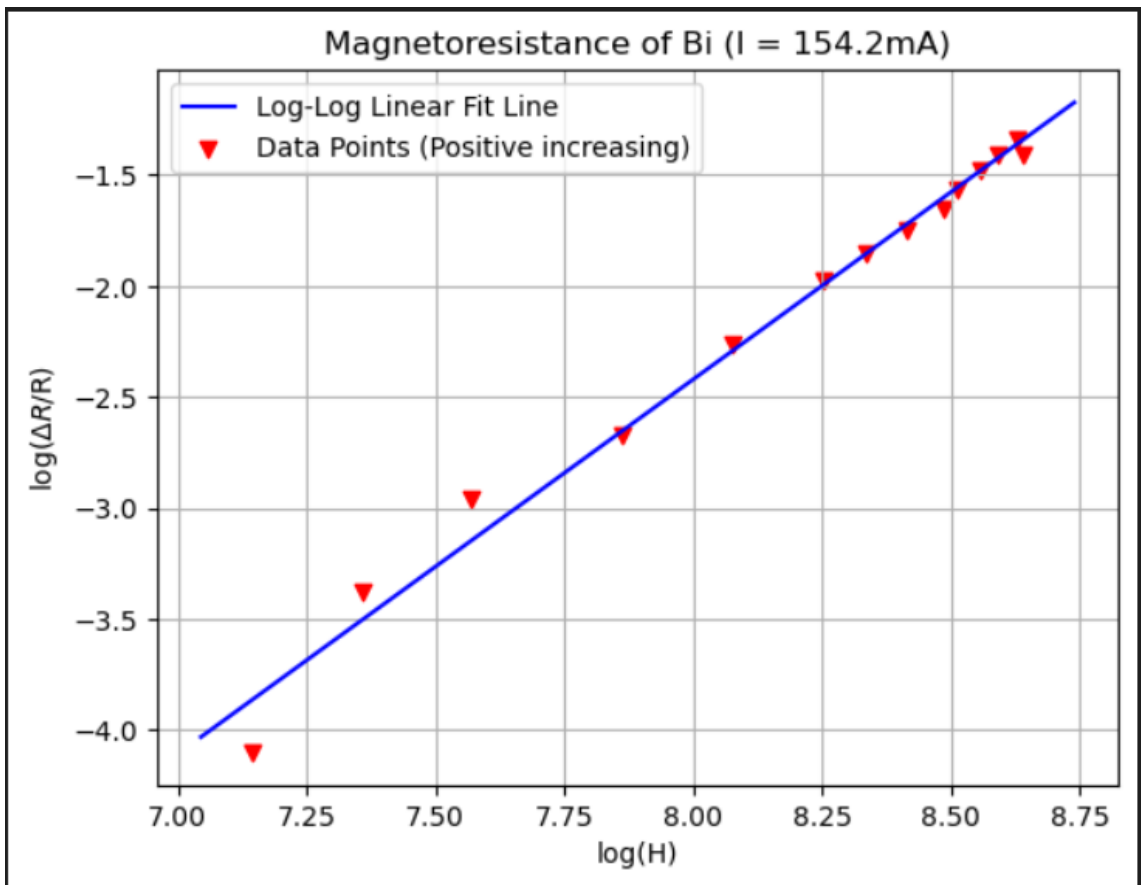


S.no.	Magnetic field (Gauss)	Hall Voltage (mV)	Rm (ohm)	$\Delta R/R$	log(H)	log($\Delta R/R$)
1	618	0.034	0.0003675675676	-0.006574141709	617.966	
2	1078	0.034	0.0003675675676	-0.006574141709	1077.966	
3	1508	0.035	0.0003783783784	0.02264426589	1507.965	-3.787848621
4	1988	0.036	0.0003891891892	0.05186267348	1987.964	-2.959155948
5	2258	0.036	0.0003891891892	0.05186267348	2257.964	-2.959155948
6	2628	0.037	0.0004	0.08108108108	2627.963	-2.512305624
7	3048	0.038	0.0004108108108	0.1102994887	3047.962	-2.204555988
8	3398	0.039	0.0004216216216	0.1395178963	3397.961	-1.969562397
9	3858	0.039	0.0004216216216	0.1395178963	3857.961	-1.969562397
10	4168	0.039	0.0004216216216	0.1395178963	4167.961	-1.969562397
11	4398	0.04	0.0004324324324	0.1687363039	4397.96	-1.779418115
12	4838	0.041	0.0004432432432	0.1979547115	4837.959	-1.619717004
13	5238	0.042	0.0004540540541	0.2271731191	5237.958	-1.482042913
14	5648	0.043	0.0004648648649	0.2563915267	5647.957	-1.361049602
15	5118	0.041	0.0004432432432	0.1979547115	5117.959	-1.619717004
16	4728	0.04	0.0004324324324	0.1687363039	4727.96	-1.779418115
17	4468	0.039	0.0004216216216	0.1395178963	4467.961	-1.969562397
18	3898	0.038	0.0004108108108	0.1102994887	3897.962	-2.204555988
19	3528	0.038	0.0004108108108	0.1102994887	3527.962	-2.204555988
20	3038	0.037	0.0004	0.08108108108	3037.963	-2.512305624
21	2298	0.036	0.0003891891892	0.05186267348	2297.964	-2.959155948
22	1708	0.035	0.0003783783784	0.02264426589	1707.965	-3.787848621
23	1388	0.035	0.0003783783784	0.02264426589	1387.965	-3.787848621
24	1028	0.034	0.0003675675676	-0.006574141709	1027.966	
25	698	0.034	0.0003675675676	-0.006574141709	697.966	
26	288	0.033	0.0003567567568	-0.03579254931	287.967	
27	-542	0.033	0.0003567567568	-0.03579254931	-542.033	
28	-1002	0.034	0.0003675675676	-0.006574141709	-1002.034	
29	-1242	0.034	0.0003675675676	-0.006574141709	-1242.034	
30	-1702	0.034	0.0003675675676	-0.006574141709	-1702.034	
31	-2022	0.035	0.0003783783784	0.02264426589	-2022.035	-3.787848621
32	-2652	0.036	0.0003891891892	0.05186267348	-2652.036	-2.959155948
33	-3102	0.036	0.0003891891892	0.05186267348	-3102.036	-2.959155948
34	-3562	0.037	0.0004	0.08108108108	-3562.037	-2.512305624
35	-3932	0.037	0.0004	0.08108108108	-3932.037	-2.512305624
36	-4222	0.038	0.0004108108108	0.1102994887	-4222.038	-2.204555988
37	-4652	0.039	0.0004216216216	0.1395178963	-4652.039	-1.969562397
38	-5062	0.039	0.0004216216216	0.1395178963	-5062.039	-1.969562397
39	-5322	0.04	0.0004324324324	0.1687363039	-5322.04	-1.779418115
40	-5512	0.041	0.0004432432432	0.1979547115	-5512.041	-1.619717004
41	-5842	0.041	0.0004432432432	0.1979547115	-5842.041	-1.619717004
42	-5492	0.041	0.0004432432432	0.1979547115	-5492.041	-1.619717004
43	-5102	0.039	0.0004216216216	0.1395178963	-5102.039	-1.969562397
44	-4452	0.038	0.0004108108108	0.1102994887	-4452.038	-2.204555988
45	-4032	0.037	0.0004	0.08108108108	-4032.037	-2.512305624
46	-3302	0.036	0.0003891891892	0.05186267348	-3302.036	-2.959155948
47	-3012	0.036	0.0003891891892	0.05186267348	-3012.036	-2.959155948
48	-2592	0.035	0.0003783783784	0.02264426589	-2592.035	-3.787848621
49	-2432	0.034	0.0003675675676	-0.006574141709	-2432.034	
50	-2162	0.034	0.0003675675676	-0.006574141709	-2162.034	
51	-1842	0.034	0.0003675675676	-0.006574141709	-1842.034	
52	-1352	0.034	0.0003675675676	-0.006574141709	-1352.034	
53	-732	0.034	0.0003675675676	-0.006574141709	-732.034	
54	-242	0.033	0.0003567567568	-0.03579254931	-242.033	



S.no.	Magnetic field H (Gauss)	Hall Voltage (mV)	Rm (ohm)	$\Delta R/R$	$\log(H)$	$\log(\Delta R/R)$
1	8	0.054	0.0003501945525	-0.05352823641	7.946	
2	598	0.056	0.0003631647211	-0.01847372664	597.944	
3	1268	0.058	0.0003761348898	0.01658078312	1267.942	-4.099510898
4	1568	0.059	0.0003826199741	0.034108038	1567.941	-3.378222204
5	1938	0.06	0.0003891050584	0.05163529288	1937.94	-2.96354987
6	2598	0.061	0.0003955901427	0.06916254776	2597.939	-2.67129578
7	3218	0.063	0.0004085603113	0.1042170575	3217.937	-2.261279463
8	3838	0.065	0.0004215304799	0.1392715673	3837.935	-1.97132953
9	4168	0.066	0.0004280155642	0.1567988222	4167.934	-1.852791683
10	4508	0.067	0.0004345006485	0.174326077	4507.933	-1.746827727
11	4838	0.068	0.0004409857328	0.1918533319	4837.932	-1.651024095
12	4968	0.069	0.0004474708171	0.2093805868	4967.931	-1.563601693
13	5198	0.07	0.0004539559014	0.2269078417	5197.93	-1.483211328
14	5388	0.071	0.0004604409857	0.2444350966	5387.929	-1.408805459
15	5578	0.072	0.00046692607	0.2619623515	5577.928	-1.339554482
16	5648	0.071	0.0004604409857	0.2444350966	5647.929	-1.408805459
17	5488	0.071	0.0004604409857	0.2444350966	5487.929	-1.408805459
18	5208	0.07	0.0004539559014	0.2269078417	5207.93	-1.483211328
19	5088	0.069	0.0004474708171	0.2093805868	5087.931	-1.563601693
20	4928	0.068	0.0004409857328	0.1918533319	4927.932	-1.651024095
21	4678	0.068	0.0004409857328	0.1918533319	4677.932	-1.651024095
22	4228	0.066	0.0004280155642	0.1567988222	4227.934	-1.852791683
23	4058	0.065	0.0004215304799	0.1392715673	4057.935	-1.97132953
24	3738	0.064	0.0004150453956	0.1217443124	3737.936	-2.105832233
25	3388	0.063	0.0004085603113	0.1042170575	3387.937	-2.261279463
26	3178	0.062	0.000402075227	0.08668980264	3177.938	-2.445419019
27	2768	0.061	0.0003955901427	0.06916254776	2767.939	-2.67129578
28	2508	0.06	0.0003891050584	0.05163529288	2507.94	-2.96354987
29	2318	0.06	0.0003891050584	0.05163529288	2317.94	-2.96354987
30	1808	0.059	0.0003826199741	0.034108038	1807.941	-3.378222204
31	1628	0.058	0.0003761348898	0.01658078312	1627.942	-4.099510898
32	1328	0.057	0.0003696498054	-0.00094647176	1327.943	
33	1088	0.056	0.0003631647211	-0.01847372664	1087.944	
34	838	0.056	0.0003631647211	-0.01847372664	837.944	
35	628	0.056	0.0003631647211	-0.01847372664	627.944	
36	248	0.055	0.0003566796368	-0.03600098153	247.945	
37	8	0.055	0.0003566796368	-0.03600098153	7.945	
38	-1112	0.056	0.0003631647211	-0.01847372664	-1112.056	
39	-1592	0.057	0.0003696498054	-0.00094647176	-1592.057	
40	-1872	0.058	0.0003761348898	0.01658078312	-1872.058	-4.099510898
41	-2162	0.058	0.0003761348898	0.01658078312	-2162.058	-4.099510898
42	-2382	0.057	0.0003696498054	-0.00094647176	-2382.057	
43	-2662	0.058	0.0003761348898	0.01658078312	-2662.058	-4.099510898
44	-2922	0.059	0.0003826199741	0.034108038	-2922.059	-3.378222204
45	-3082	0.06	0.0003891050584	0.05163529288	-3082.06	-2.96354987
46	-3292	0.061	0.0003955901427	0.06916254776	-3292.061	-2.67129578
47	-3672	0.062	0.000402075227	0.08668980264	-3672.062	-2.445419019
48	-3872	0.063	0.0004085603113	0.1042170575	-3872.063	-2.261279463
49	-4312	0.064	0.0004150453956	0.1217443124	-4312.064	-2.105832233
50	-4622	0.065	0.0004215304799	0.1392715673	-4622.065	-1.97132953
51	-4972	0.066	0.0004280155642	0.1567988222	-4972.066	-1.852791683
52	-5192	0.067	0.0004345006485	0.174326077	-5192.067	-1.746827727
53	-5482	0.067	0.0004345006485	0.174326077	-5482.067	-1.746827727
54	-5702	0.067	0.0004345006485	0.174326077	-5702.067	-1.746827727
55	-5842	0.067	0.0004345006485	0.174326077	-5842.067	-1.746827727
56	-5542	0.067	0.0004345006485	0.174326077	-5542.067	-1.746827727
57	-5072	0.066	0.0004280155642	0.1567988222	-5072.066	-1.852791683
58	-4682	0.065	0.0004215304799	0.1392715673	-4682.065	-1.97132953
59	-4902	0.063	0.0004085603113	0.1042170575	-4902.063	-2.261279463
60	-4012	0.062	0.000402075227	0.08668980264	-4012.062	-2.445419019
61	-3482	0.061	0.0003955901427	0.06916254776	-3482.061	-2.67129578
62	-3142	0.06	0.0003891050584	0.05163529288	-3142.06	-2.96354987
63	-2322	0.058	0.0003761348898	0.01658078312	-2322.058	-4.099510898
64	-1952	0.057	0.0003696498054	-0.00094647176	-1952.057	
65	-1432	0.056	0.0003631647211	-0.01847372664	-1432.056	
66	-892	0.056	0.0003631647211	-0.01847372664	-892.056	
67	-192	0.055	0.0003566796368	-0.03600098153	-192.055	

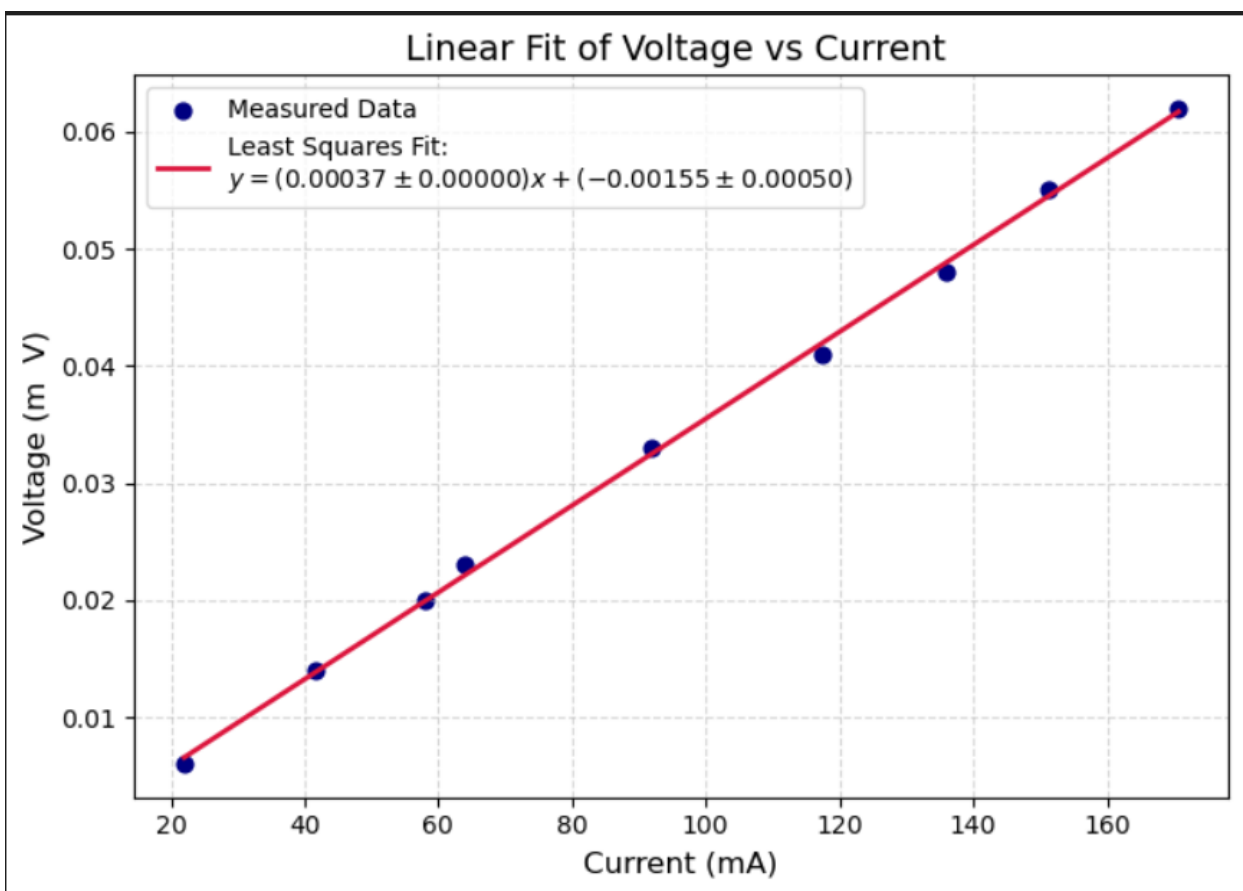


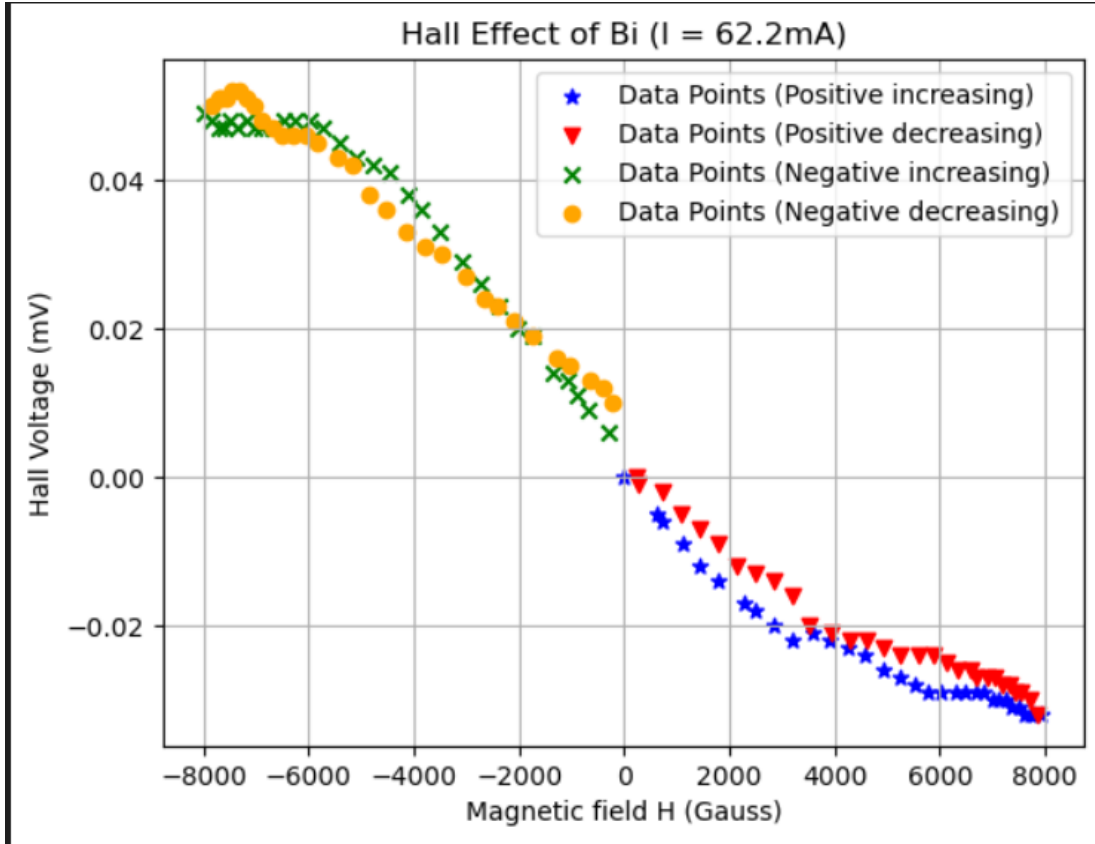
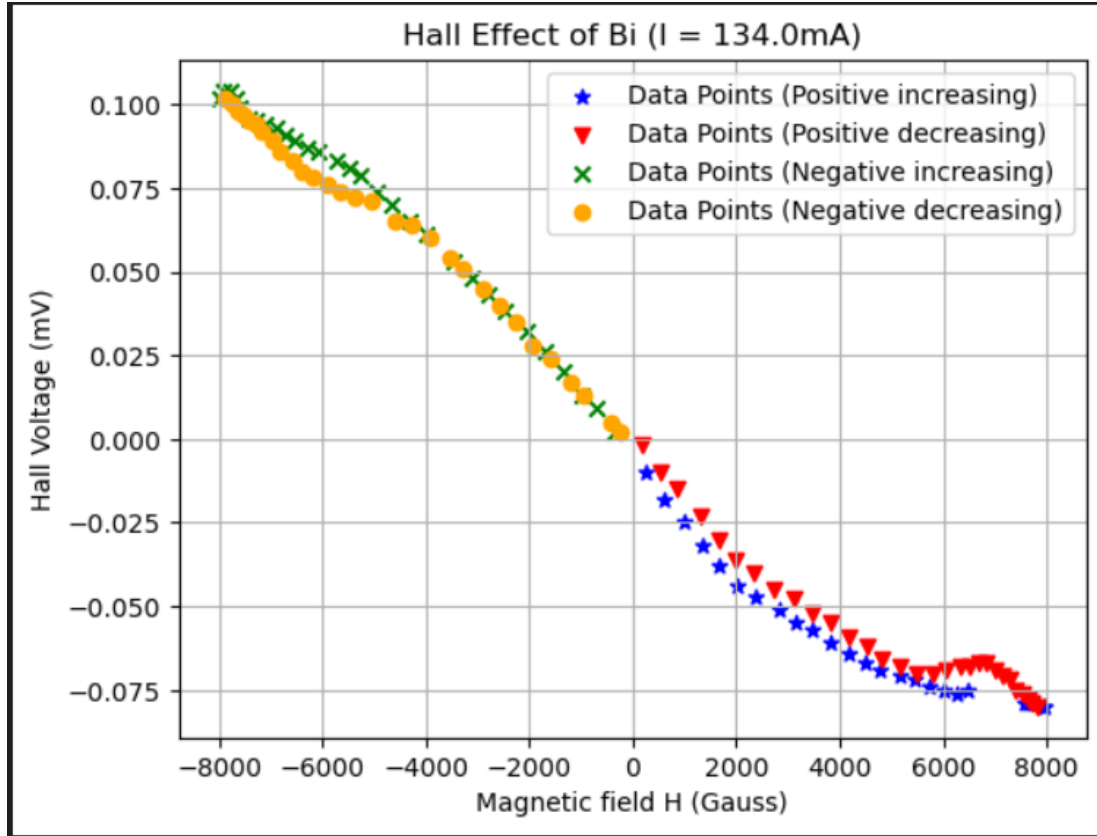


Input Data				
i	x	y	x ²	xy
1	22.0	0.006	484.0	0.132
2	41.6	0.014	1730.56	0.582
3	57.9	0.02	3352.41	1.158
4	63.9	0.023	4083.21	1.47
5	92.0	0.033	8464.0	3.036
6	117.5	0.041	13806.25	4.818
7	136.0	0.048	18496.0	6.528
8	151.3	0.055	22891.69	8.322
9	170.7	0.062	29138.49	10.583
Σ	852.9	0.302	102446.61	36.628

Measured vs Fitted Values		
x	y (measured)	y (fit)
22.0	0.006	0.007
41.6	0.014	0.014
57.9	0.02	0.02
63.9	0.023	0.022
92.0	0.033	0.033
117.5	0.041	0.042
136.0	0.048	0.049
151.3	0.055	0.054
170.7	0.062	0.062

Fit Results & Statistical Errors		
Parameter	Value	Uncertainty
Slope (a_1)	0.00037	± 0.00000
Intercept (a_0)	-0.00155	± 0.00050
σ_y (Std. Error)	0.00069	
Δ (delta)	194581.08000	

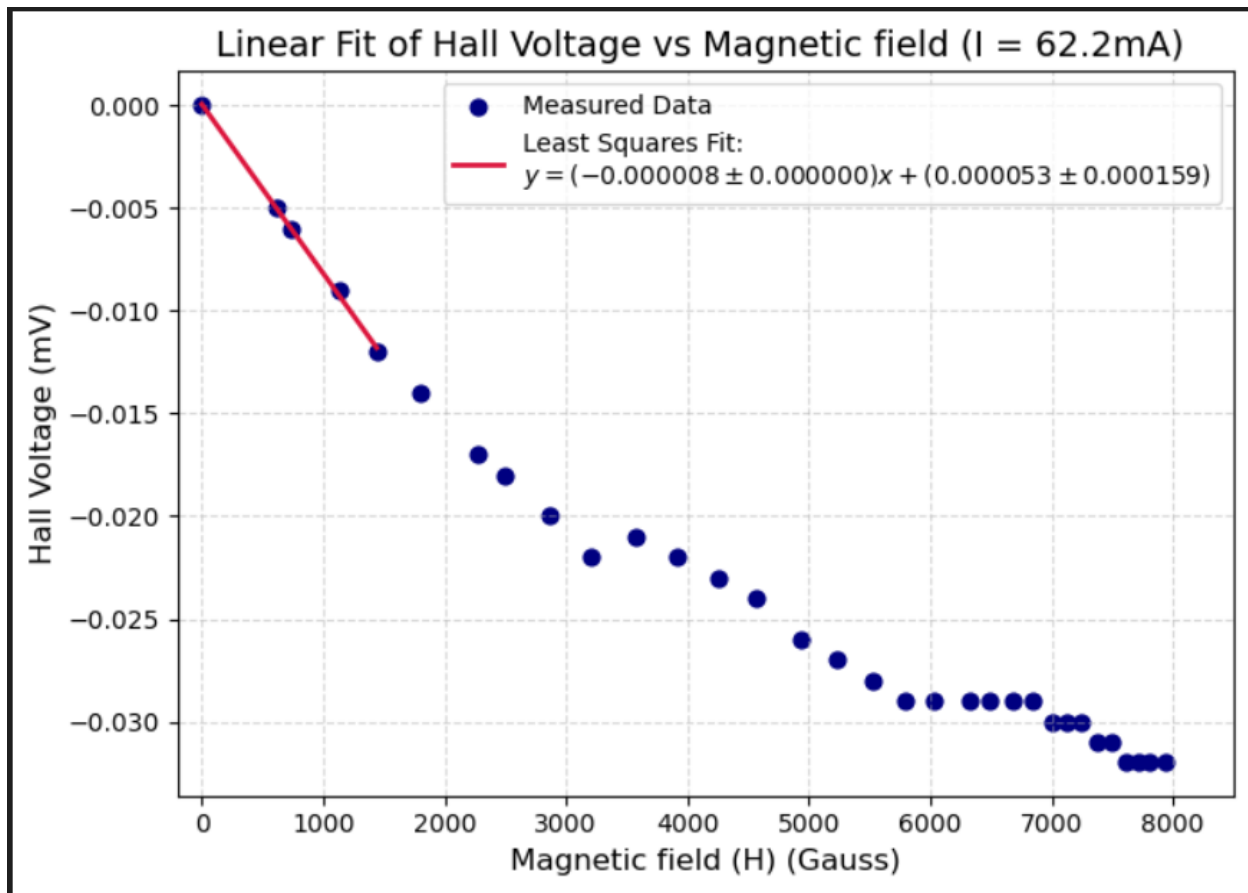




Input Data					
i	x	y	x ²	xy	
1	0	0.0	0	0.0	
2	610	-0.005	372100	-3.05	
3	740	-0.006	547600	-4.44	
4	1130	-0.009	1276900	-10.17	
5	1440	-0.012	2073600	-17.28	
Σ	3920	-0.032	4270200	-34.94	

Measured vs Fitted Values		
x	y (measured)	y (fit)
0	0.0	0.0
610	-0.005	-0.005
740	-0.006	-0.006
1130	-0.009	-0.009
1440	-0.012	-0.012

Fit Results & Statistical Errors		
Parameter	Value	Uncertainty
Slope (a_1)	-0.000008	± 0.000000
Intercept (a_0)	0.000053	± 0.000159
σ_y (Std. Error)	0.000189	
Δ (delta)	5984600.000000	



Input Data					
i	x	y	x^2	xy	
1	260	-0.01	67600	-2.6	
2	620	-0.018	384400	-11.16	
3	980	-0.025	960400	-24.5	
4	1330	-0.032	1768900	-42.56	
5	1680	-0.038	2822400	-63.84	
6	2030	-0.044	4120900	-89.32	
Σ	6900	-0.167	10124600	-233.98	

Measured vs Fitted Values		
x	y (measured)	y (fit)
260	-0.01	-0.011
620	-0.018	-0.018
980	-0.025	-0.025
1330	-0.032	-0.031
1680	-0.038	-0.038
2030	-0.044	-0.045

Fit Results & Statistical Errors		
Parameter	Value	Uncertainty
Slope (a_1)	-0.000019	± 0.000000
Intercept (a_0)	-0.005811	± 0.000603
σ_y (Std. Error)	0.000687	
Δ (delta)	13137600.000000	

